



Лаборатория «Физика прочности и интеллектуальные  
диагностические системы», 1 декабря 2011 года

1

**Некоторые вопросы  
деформации твёрдого тела  
с точки зрения  
неравновесной термодинамики**

докладчик: И.С.Ясников

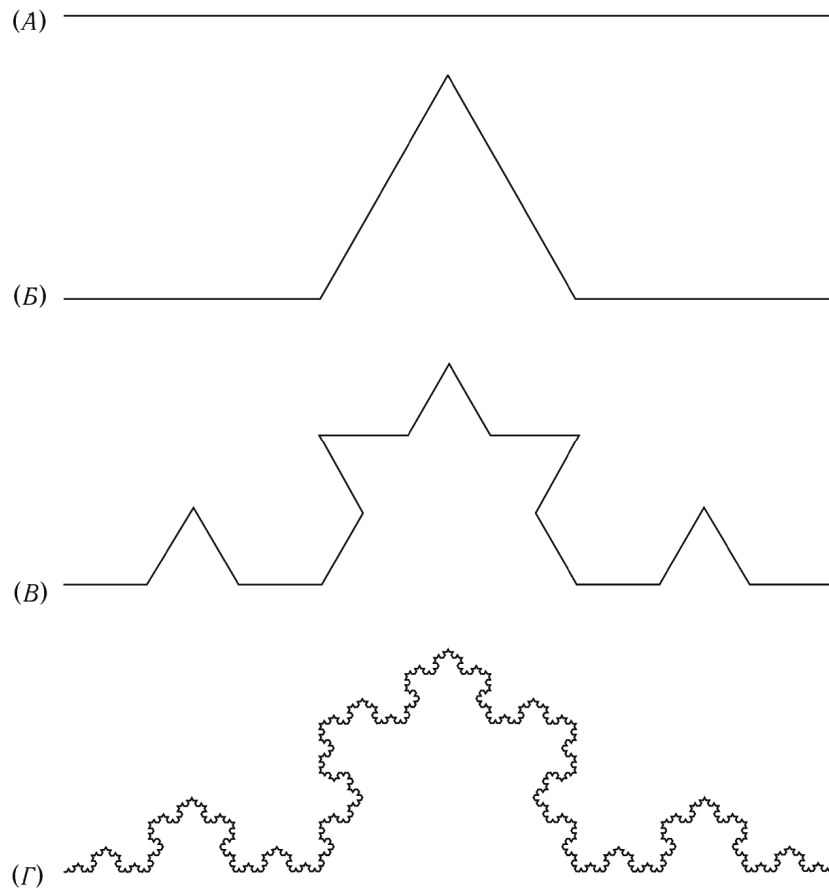
# Классификация термодинамических систем



## Типы неустойчивостей

- 1. Возможность самоорганизации (появление дальнего порядка, возникновение диссипативных структур)**  
*фрагментированная структура металлов на стадии больших деформаций*
- 2. Бифуркации на фазовых траекториях системы (рост обычных флуктуаций до аномально больших размеров, переходы между фазовыми траекториями системы)**  
*отклонения от однородного ламинарного скольжения дислокаций (образование полос скольжения, полос сброса)*
- 3. Фрактальные структуры (сохранение основных характеристик системы на всех уровнях)**  
*фрактальная организация тонкой дислокационной структуры полос скольжения*
- 4. Ротации (переход от хаотического поведения к диссипативным структурам)**  
*формирование ячеек, блоков, фрагментов, двойников, полос переориентации*
- 5. Неравновесный турбулентный хаос**  
*экстремальные условия деформирования (взрывная обработка)*
- 6. Колебательные режимы (взаимодействие фазовых траекторий и странного аттрактора)**  
*колебания на диаграмме нагружения на макроуровне*

# Понятие фрактальной размерности (по Хаусдорфу)



**Длина кривой из  $N$  отрезков длиной  $r$  каждый**

$$L(r) = N \cdot r$$

**Обычная кривая**

$$r \rightarrow 0 \quad L(r) = N \cdot r \rightarrow L$$

**Фрактал**

$$r \rightarrow 0 \quad L(r) = N \cdot r \rightarrow \infty$$

**Фрактальная размерность  $D$**

$$r \rightarrow 0 \quad L(r) = N \cdot r^\alpha$$

**Предельные случаи**

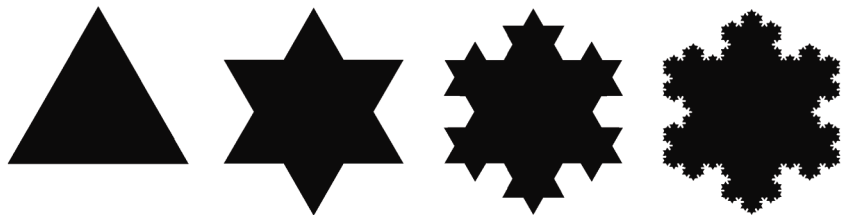
$$\alpha < D \quad L(r) = N \cdot r^\alpha \rightarrow \infty$$

$$\alpha > D \quad L(r) = N \cdot r^\alpha \rightarrow 0$$

$$\alpha = D \quad L(r) = N \cdot r^\alpha \rightarrow const$$

**Фрактальная размерность**

$$D = \lim_{r \rightarrow 0} \frac{\ln N}{\ln \left( \frac{1}{r} \right)}$$



**Снежинка Коха**

$$r \sim \frac{1}{3^n} \quad N \sim 4^n$$

$$D = \frac{\ln 4}{\ln 3} \approx 1,26$$



# Фрактальность ячеистой структуры



ELSEVIER

Materials Science and Engineering A272 (1999) 443–454

**MATERIALS  
SCIENCE &  
ENGINEERING**

**A**

www.elsevier.com/locate/msea

**Распределение ячеек по  
размерам**

$$N(\lambda > \Lambda) \sim \Lambda^{-D}$$

## Dislocation dynamics and work hardening of fractal dislocation cell structures

Peter Hähner <sup>a,\*</sup>, Michael Zaiser <sup>b</sup>

<sup>a</sup> TU Braunschweig, Institut für Metallphysik und Nukleare Festkörperphysik, Mendelssohnstr. 3, D-39106 Braunschweig, Germany

<sup>b</sup> Max-Planck-Institut für Metallforschung, Heisenbergstr. 1, D-70569 Stuttgart, Germany

Received 24 February 1999; received in revised form 21 July 1999

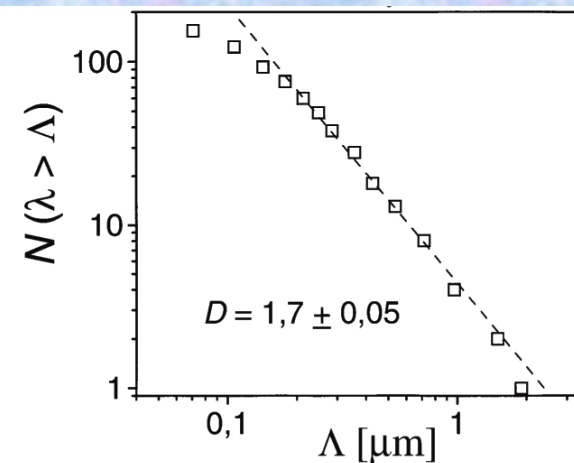
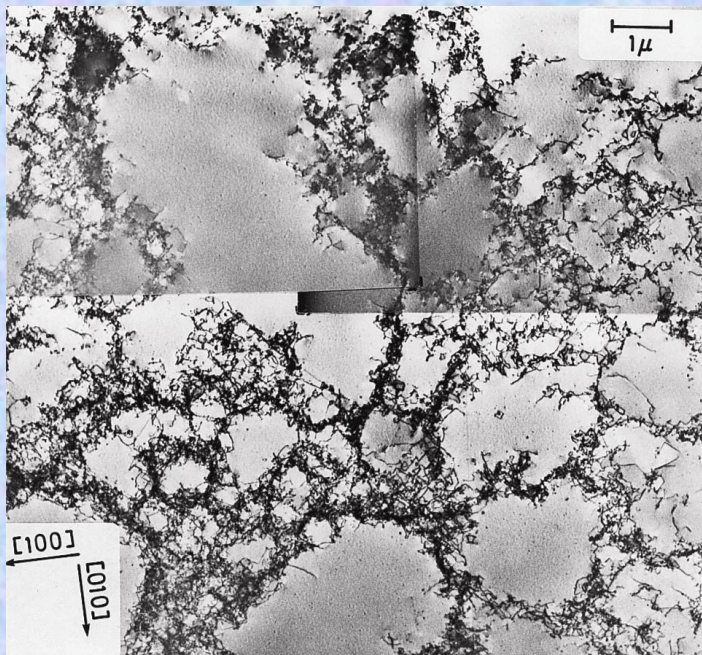


Fig. 1. (a) Transmission electron micrograph of the self-similar dislocation cell structure of a [100]-orientated Cu single crystal deformed at room temperature to a resolved shear stress of 37.3 MPa, by courtesy of U. Essmann [11]; (b) the corresponding cell size distribution reveals the fractal dimension  $D = 1.7$  (gap dimension).

# Фрактальность ячеистой структуры

VOLUME 81, NUMBER 12

PHYSICAL REVIEW LETTERS

21 SEPTEMBER 1998

## Fractal Dislocation Patterning During Plastic Deformation

Peter Hähner,<sup>1</sup> Karlheinz Bay,<sup>2</sup> and Michael Zaiser<sup>2</sup>

<sup>1</sup>European Commission, Joint Research Centre, I-21020 Ispra (Va), Italy

<sup>2</sup>Max-Planck-Institut für Metallforschung, Heisenbergstrasse 1, D-70569 Stuttgart, Germany

(Received 13 May 1998)

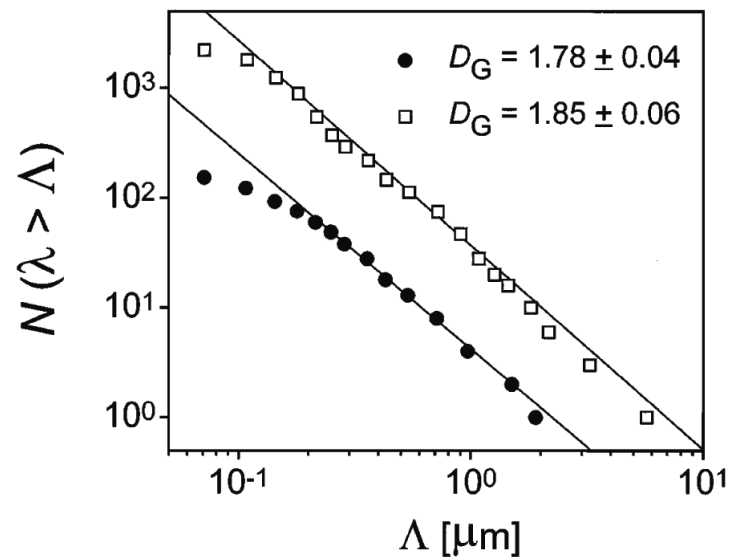


FIG. 3. Cell size distributions in Cu single crystals deformed to stresses of 68.2 MPa ( $\square$ ) and 75.6 MPa ( $\bullet$ ) and determination of the respective gap dimensions  $D_G$ .

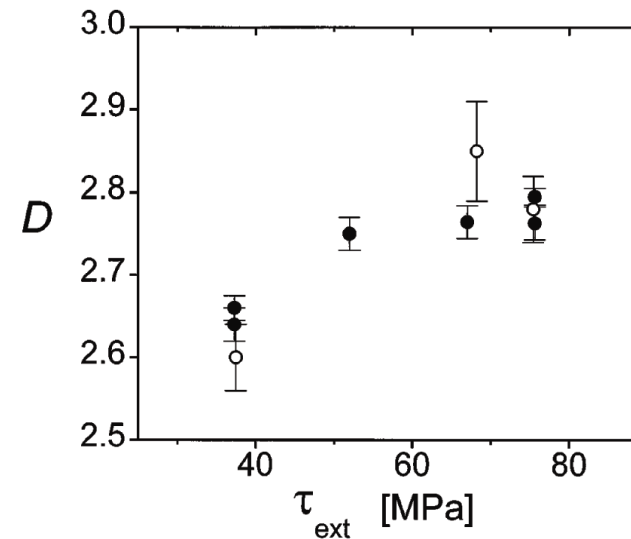


FIG. 4. Fractal dimensions  $D$  of dislocation cell structures of [100]-orientated Cu single crystals as a function of stress; filled symbols:  $D = D_B + 1$  from box counting; open symbols:  $D = D_G + 1$  from gap method.

# Formation of mesostructures at the surface of ferritic steel and a nickel monocrystal under increasing load – an in situ AFM experiment

O. Meißner<sup>1</sup>, J. Schreiber<sup>1</sup>, A. Schwab<sup>2</sup>

**Сталь  
ферритного  
класса**

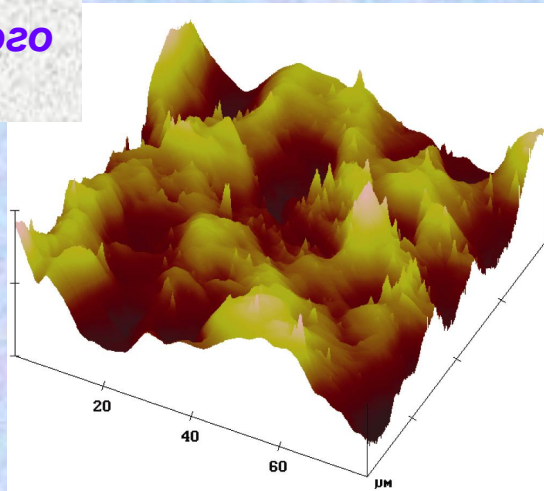
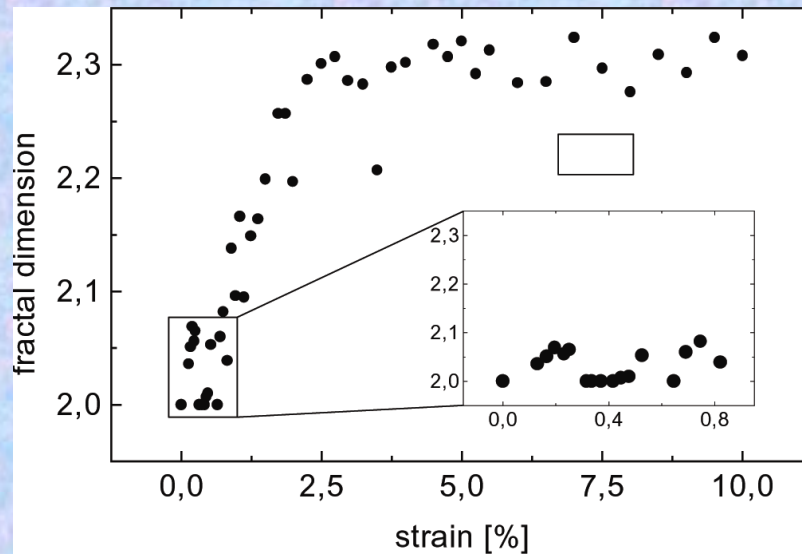


Fig.3. AFM image of plastic deformed ferritic steel; strain about 5.5%, structures with a size of about 25 μm can be seen



**Монокристалл  
никеля**

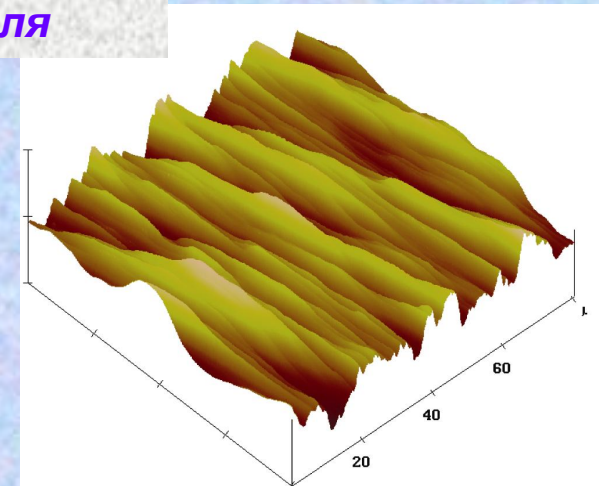
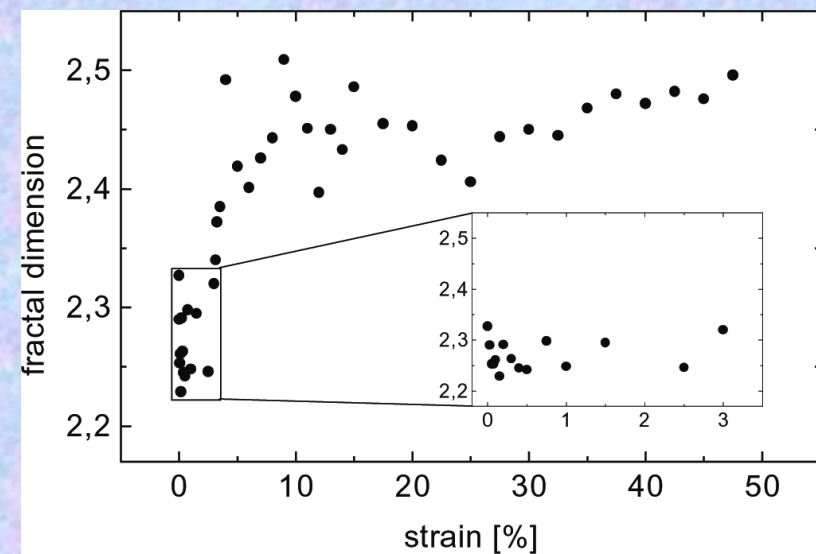
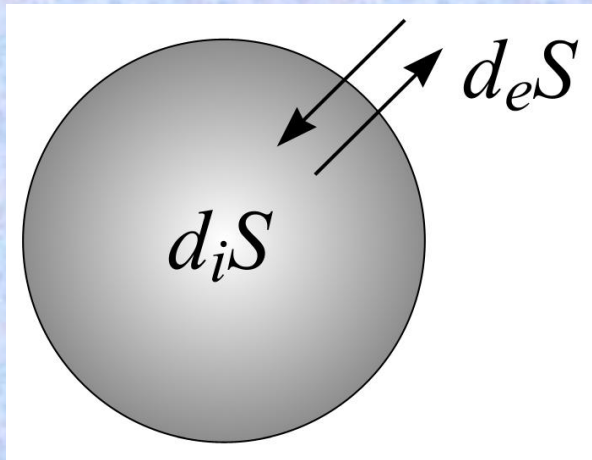


Fig.5. AFM image of a plastically deformed nickel monocrystal; strain about 45%, slip bands superimposed on mesostructures can be seen



## Деформируемый образец как открытая термодинамическая система



### Общее изменение энтропии для открытых систем

$$dS = d_i S + d_e S$$

$d_i S$  - приращение энтропии, обусловленное изменениями внутри образца, всегда положительная величина

$d_e S$  - приращение энтропии, обусловленное взаимодействием системы с окружающей средой.

Открытые  
системы



Самоорганизация



Возникновение сложных  
самоподобных структур (фракталов)

## Приращение энтропии, обусловленное изменениями внутри образца

Приращение энтропии,  
обусловленное  
изменениями внутри  
образца

$$d_i S = \frac{1}{T} (dW_{gen} + dW_{gl} + dW_{an})$$

Полная плотность  
дислокаций

$$\rho = \rho^+ - \rho^- \quad d\rho = d\rho^+ - d\rho^-$$

Рождение дислокаций

$$dW_{gen} = Ed\rho^+ = \frac{1}{2}Gb^2 d\rho^+$$

Скольжение

$$dW_{gl} = \tau b l d\rho^+ \quad dW_{gl} = \alpha G b \sqrt{\rho} \frac{b}{\sqrt{\rho}} d\rho^+ = \alpha G b^2 d\rho^+$$

Аннигиляция дислокаций

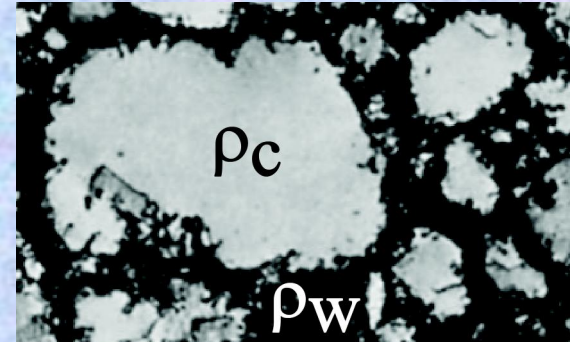
$$dW_{an} = Ed\rho^- = \frac{1}{2}Gb^2 d\rho^-$$

$$d_i S = \frac{(1 + 2\alpha)Gb^2}{2T} d\rho^+ + \frac{Gb^2}{2T} d\rho^- \quad d_i S = \frac{(1 + 2\alpha)Gb^2}{2T} d\rho + \frac{(2 + 2\alpha)Gb^2}{2T} d\rho^-$$

## Приращение энтропии, обусловленное взаимодействием с окружающей средой

Приращение энтропии,  
обусловленное  
взаимодействием с  
окружающей средой

$$d_e S = -\frac{\tau d\gamma}{T}$$



Формула Тейлора и её  
преобразование

$$\tau = \tau_0 + \alpha Gb \sqrt{\rho}$$

$$\tau = \alpha Gb \sqrt{\rho} = f_w \tau_w + f_c \tau_c = f_w \alpha Gb \sqrt{\rho_w} + f_c \alpha Gb \sqrt{\rho_c}$$

УСЛОВИЯ:  $f_w + f_c = 1$   $\rho_w \gg \rho_c$   $\rho_w \sim \rho$   $\langle \lambda \rangle \sim 1/\sqrt{\rho_c}$

$$\tau = \alpha Gb \left( f_w \sqrt{\rho} + \frac{f_c}{\langle \lambda \rangle} \right)$$

$$d_e S = -\left( f_w \sqrt{\rho} + \frac{f_c}{\langle \lambda \rangle} \right) \frac{\alpha Gb d\gamma}{T}$$

## Общее приращение энтропии

$$dS = \frac{(1+2\alpha)Gb^2}{2T} d\rho + \frac{(2+2\alpha)Gb^2}{2T} d\rho^- - \left( f_w \sqrt{\rho} + \frac{f_c}{\langle \lambda \rangle} \right) \frac{\alpha G b d\gamma}{T}$$

$$\frac{dS}{d\gamma} = \frac{(1+2\alpha)Gb^2}{2T} \frac{d\rho}{d\gamma} + \frac{(2+2\alpha)Gb^2}{2T} \frac{d\rho^-}{d\gamma} - \left( f_w \sqrt{\rho} + \frac{f_c}{\langle \lambda \rangle} \right) \frac{\alpha G b}{T}$$

**Аннигиляция  
дислокаций как процесс  
второго порядка**

$$\frac{d\rho^-}{dt} = \rho^2 b^2 v_0 e^{-\frac{\Delta G}{k_b T}} \quad \frac{d\rho^-}{d\gamma} = \frac{1}{\dot{\gamma}} \frac{d\rho^-}{dt} = \frac{\rho^2 b^2 v_0}{\dot{\gamma}} e^{-\frac{\Delta G}{k_b T}}$$

$$\dot{\gamma} = \rho b \langle V \rangle \quad \frac{d\rho^-}{d\gamma} = \frac{\rho^2 b^2 v_0}{\rho b \langle V \rangle} e^{-\frac{\Delta G}{k_b T}} = \frac{\rho b v_0}{\langle V \rangle} e^{-\frac{\Delta G}{k_b T}}$$

$$\frac{dS}{d\gamma} = \frac{(1+2\alpha)Gb^2}{2T} \frac{d\rho}{d\gamma} + \frac{(2+2\alpha)Gb^2}{2T} \frac{\rho b v_0}{\langle V \rangle} e^{-\frac{\Delta G}{k_b T}} - \left( f_w \sqrt{\rho} + \frac{f_c}{\langle \lambda \rangle} \right) \frac{\alpha G b}{T}$$

## Общее приращение энтропии

Феноменологическая теория Hart (E. W. Hart: Acta Metall., 1970, 18, 599–610)

Гипотеза Nabarro (F. R. N. Nabarro: Acta Metall., 1989, 37, 1521–1546)

*Параметр упрочнения и энтропия могут одновременно характеризовать степень упорядоченности деформируемого образца*

$$\frac{dS}{d\gamma} = \frac{C b}{T l} \frac{d\tau}{d\gamma} \quad \frac{dS}{d\gamma} = \frac{C\alpha G b^2}{2T} \frac{d\rho}{d\gamma}$$

$$\frac{C\alpha G b^2}{2T} \frac{d\rho}{d\gamma} = \frac{(1+2\alpha)G b^2}{2T} \frac{d\rho}{d\gamma} + \frac{(2+2\alpha)G b^2}{2T} \frac{\rho b v_0}{\langle V \rangle} e^{-\frac{\Delta G}{k_b T}} - \left( f_w \sqrt{\rho} + \frac{f_c}{\langle \lambda \rangle} \right) \frac{\alpha G b}{T}$$

$$\frac{d\rho}{d\gamma} = \frac{2\alpha f_c}{1+2\alpha - C\alpha} \cdot \frac{1}{b\langle \lambda \rangle} + \frac{2\alpha f_w}{1+2\alpha - C\alpha} \cdot \frac{\sqrt{\rho}}{b} - \frac{2+2\alpha}{1+2\alpha - C\alpha} \cdot \frac{b v_0}{\langle V \rangle} e^{-\frac{\Delta G}{k_b T}} \rho$$

## Кинетическое уравнение для средней плотности дислокаций

### Кинетические коэффициенты

$$k_0 = \frac{2\alpha f_c}{1 + 2\alpha - C\alpha} \quad k_1 = \frac{2\alpha f_w}{1 + 2\alpha - C\alpha}$$

$$k_2 = \frac{2 + 2\alpha}{1 + 2\alpha - C\alpha} \cdot \frac{bv_0}{\langle V \rangle} e^{-\frac{\Delta G}{k_b T}}$$

### Кинетическое уравнение

$$\frac{d\rho}{d\gamma} = \frac{k_0}{b\langle\lambda\rangle} + \frac{k_1\sqrt{\rho}}{b} - k_2\rho$$

$\rho$  - средняя плотность дислокаций;

$\gamma$  - истинная сдвиговая деформация;

$b$  - вектор Бюргерса;

$\lambda$  - средний размер ячейки,

$k_0$ ,  $k_1$  и  $k_2$  – кинетические коэффициенты

Первое слагаемое в представленном уравнение отвечает за накопление дислокаций в образце вследствие наличия границ ячеистой структуры, второе – за размножение дислокаций на дислокациях леса, третье – за гибель дислокаций.



# Эволюция фрактальной размерности как функция параметров деформации образца

M. Zaiser, K. Bay, P. Hähner *Fractal analysis of deformation-induced dislocation pattern II*  
Acta mater. – 1999. – Vol. 47, No. 8. - P.2463 – 2476

Распределение ячеек по размерам

$$N(\lambda > \Lambda) \propto \Lambda^{-D}$$

Распределение вероятности встретить ячейку попадающую в интервал от  $\lambda$  до  $\lambda+d\lambda$

$$p(\lambda) = D\lambda_{min}^D \lambda^{-D-1}$$

Средний размер ячейки

$$\langle \lambda \rangle = \int_{\lambda_{min}}^{\infty} \lambda p(\lambda) d\lambda = \frac{D}{D-1} \lambda_{min}$$

Минимальный размер ячейки

$$\lambda_{min} = \frac{Gb}{\tau - \tau_0} = \frac{1}{\alpha\sqrt{\rho}}$$

$$\langle \lambda \rangle = \lambda_{min} \frac{D}{D-1} = \frac{1}{\alpha\sqrt{\rho}} \cdot \frac{D}{D-1}$$

$$\frac{d\rho}{d\gamma} = \left( \alpha k_0 \frac{D-1}{D} + k_1 \right) \frac{\sqrt{\rho}}{b} - k_2 \rho$$

## Уравнение эволюции в различных переменных

$$\frac{d\rho}{d\gamma} = \left( \alpha k_0 \frac{D-1}{D} + k_1 \right) \frac{\sqrt{\rho}}{b} - k_2 \rho$$

$$2 \frac{d\tau}{d\gamma} = \alpha G \left( \alpha k_0 \frac{D-1}{D} + k_1 \right) - k_2 \tau$$

$$\gamma = \varepsilon \cdot M \quad \tau = \sigma / M$$

$$\frac{2}{M^2} \frac{d\sigma}{d\varepsilon} + \frac{k_2}{M} \sigma = \alpha G \left( \alpha k_0 \frac{D-1}{D} + k_1 \right)$$

$$\frac{2}{M^2} \frac{d\sigma}{d\varepsilon} + \frac{k_2}{M} \sigma = F(\varepsilon)$$

$$F(\varepsilon) = \alpha G \left( \alpha k_0 + k_1 - \frac{\alpha k_0}{D(\varepsilon)} \right)$$

## Решение дифференциального уравнения методом вариации постоянных

$$\sigma(\varepsilon) = e^{-\frac{k_2 M \varepsilon}{2}} \left( \int_{\varepsilon} \left( \frac{1}{2} \alpha G M^2 \left( \alpha k_0 + k_1 - \frac{\alpha k_0}{D(\varepsilon)} \right) e^{\frac{k_2 M \varepsilon}{2}} \right) d\varepsilon + C \right)$$

## Эволюция фрактальной размерности как функция параметров деформации образца

$$\frac{2}{M^2} \frac{d\sigma}{d\varepsilon} + \frac{k_2}{M} \sigma = \alpha G \left( \alpha k_0 \frac{D-1}{D} + k_1 \right)$$

$$\rightarrow D = \frac{\alpha k_0}{\alpha k_0 + k_1 - \frac{1}{\alpha M G} \left( \frac{2}{M} \frac{d\sigma}{d\varepsilon} + k_2 \sigma \right)}$$

*Если каждой точке кривой нагружения сопоставить её производную, то можно определить фрактальную размерность*

$$\sigma(\varepsilon) \rightarrow \frac{d\sigma(\varepsilon)}{d\varepsilon} \rightarrow D \left( \varepsilon, \sigma(\varepsilon), \frac{d\sigma(\varepsilon)}{d\varepsilon} \right)$$

## Оценка значений кинетических коэффициентов

**Исходное уравнение**

$$\frac{2}{M^2} \frac{d\sigma}{d\varepsilon} + \frac{k_2}{M} \sigma = \alpha G \left( \alpha k_0 \frac{D-1}{D} + k_1 \right)$$

**Решение исходного уравнения в приближении постоянной правой части**

$$\sigma = \frac{\alpha GM}{k_2} \left( \alpha k_0 \frac{D-1}{D} + k_1 \right) \left( 1 - e^{-\frac{k_2 M \varepsilon}{2}} \right)$$

**Оценка коэффициента  $k_1$**

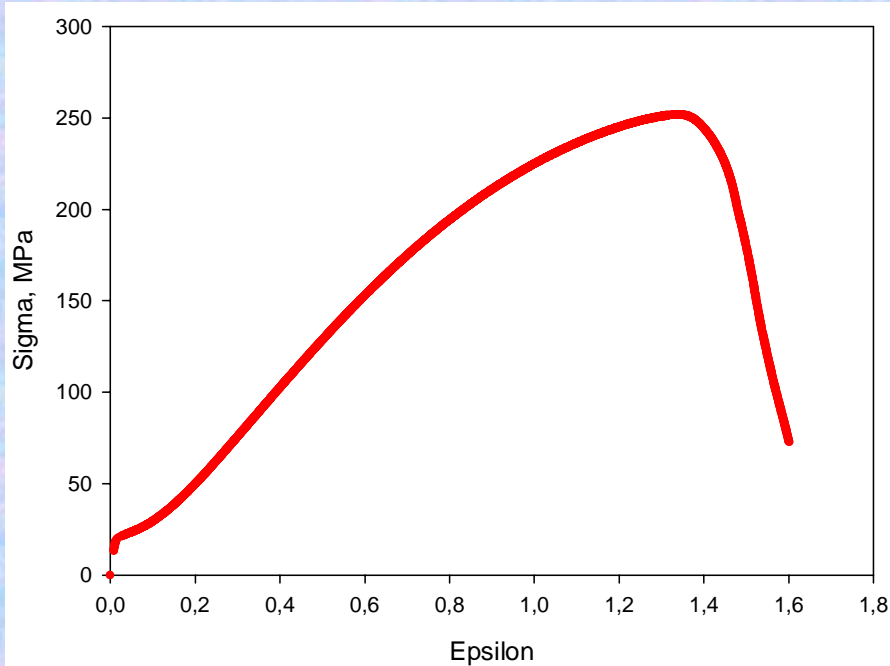
$$\frac{2}{M^2} \frac{d\sigma}{d\varepsilon} = \alpha G k_1 \quad k_1 = \frac{2}{\alpha G M^2} \left( \frac{d\sigma}{d\varepsilon} \right)_{in}$$

$$G = 75000 \text{ МПа}, M = 2 \text{ (никель)}$$

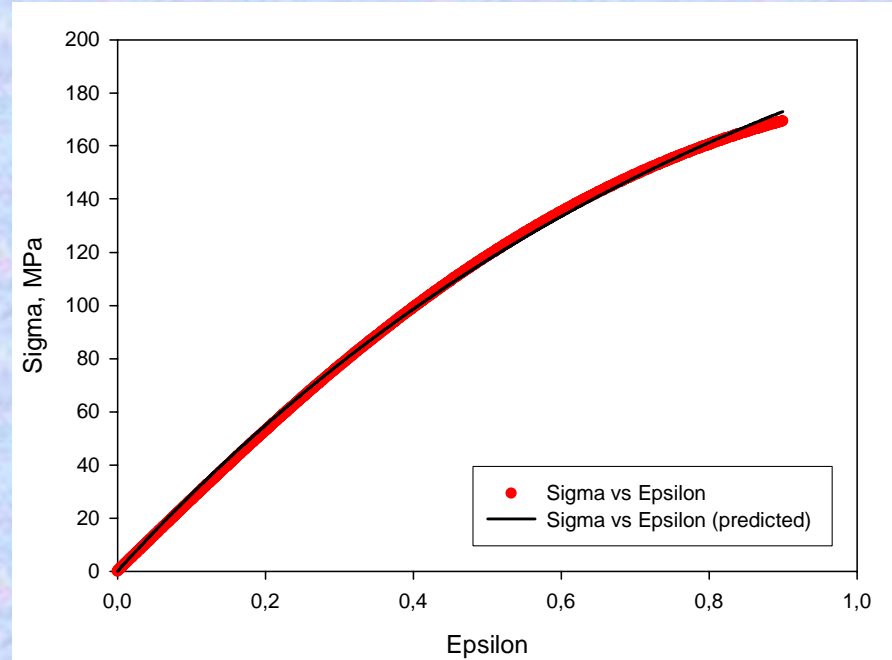
$$\left( \frac{d\sigma}{d\varepsilon} \right)_{in} \approx 10^{-4} G \quad k_1 \sim 10^{-4}$$

# Оценка значений кинетических коэффициентов

**Кривая нагружения  
монокристаллического никеля**



**То же в интервале  $0,3 < \epsilon < 1,2$   
сместённое в начало координат**



$$\sigma = \frac{\alpha GM}{k_2} \left( \alpha k_0 \frac{D-1}{D} + k_1 \right) \left( 1 - e^{-\frac{k_2 M \epsilon}{2}} \right) \rightarrow \sigma = A \left( 1 - e^{-B \epsilon} \right) \rightarrow \begin{matrix} A \approx 346 \text{ МПа} \\ B \approx 1,133 \end{matrix}$$

## Оценка значений кинетических коэффициентов

### Оценка коэффициента $k_0$

$$k_0 = \frac{D}{\alpha(D-1)} \left( \frac{k_2 A}{\alpha M G} - k_1 \right) \approx 3,1 \cdot 10^{-2}$$

### Оценка коэффициента $k_1$

$$k_1 = \frac{2}{\alpha G M^2} \left( \frac{d\sigma}{d\varepsilon} \right)_{in} \approx 10^{-4}$$

### Оценка коэффициента $k_2$

$$k_2 = \frac{2B}{M} \approx 1,133$$

$$D = \frac{\alpha k_0}{\alpha k_0 + k_1 - \frac{1}{\alpha M G} \left( \frac{2}{M} \frac{d\sigma}{d\varepsilon} + k_2 \sigma \right)}$$



## Стадии пластической деформации

### ***I стадия (стадия лёгкого скольжения)***

Зависимость  $\sigma(\varepsilon)$  – линейна. Коэффициент упрочнения  $\sim 10^{-4} G$ . Сдвиг совершается скольжением дислокаций в одной, первичной системе скольжения из источников, которые имелись до начала деформации. Помехи движению дислокаций отсутствуют, длина свободного пробега дислокации велика. Большая часть дислокаций достигает поверхности, образуя на ней ступеньки. Это проявляется в появлении на поверхности линий скольжения.

### ***II стадия (стадия множественного скольжения)***

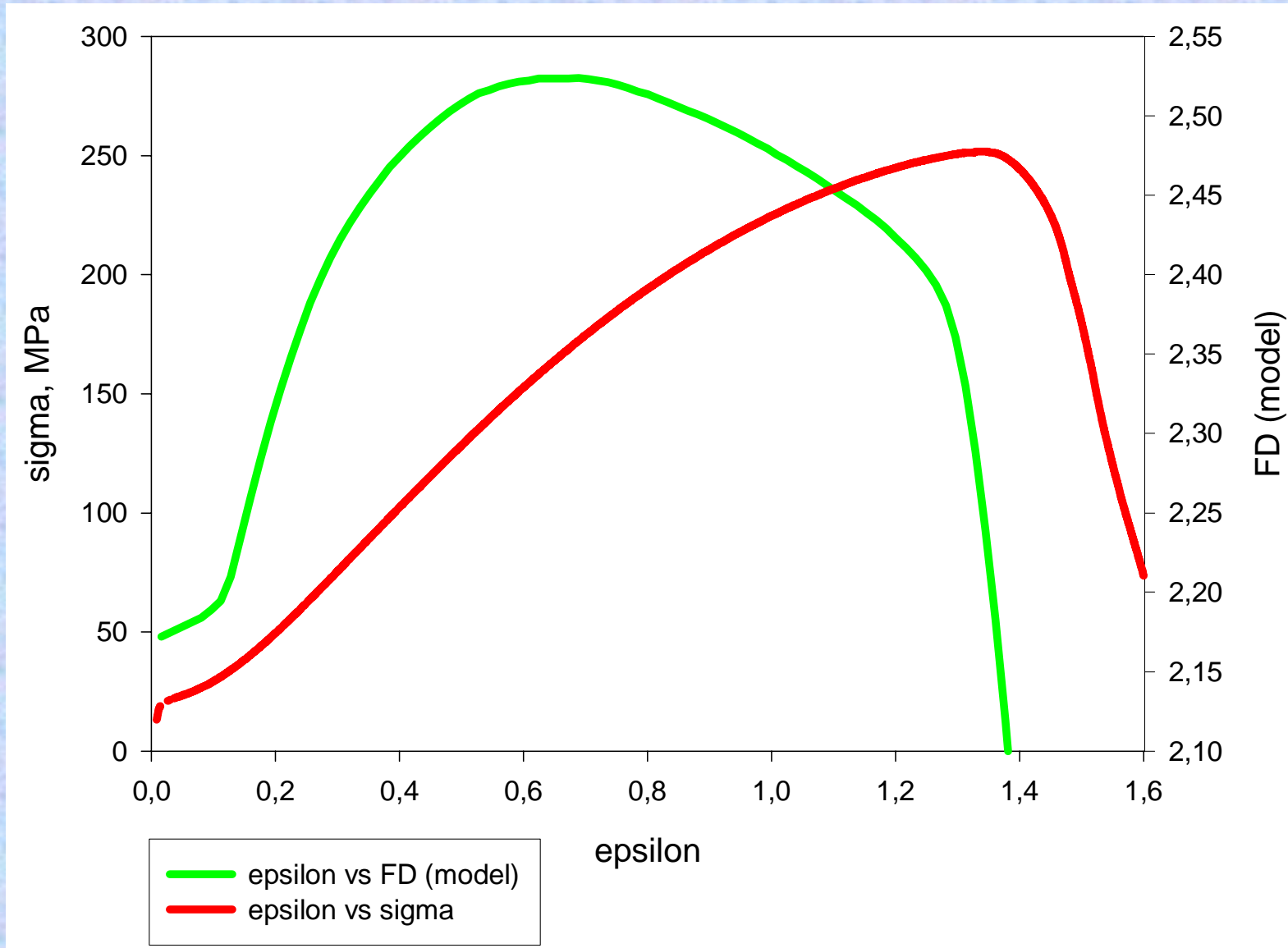
Зависимость  $\sigma(\varepsilon)$  – линейна. Коэффициент упрочнения  $\sim G/300$ . Линии скольжения становятся значительно короче и образуются сложные сплетения дислокаций, которые располагаются вдоль действующих плоскостей скольжения и окружают области, свободные от дислокаций (формируется «ячеистая» структура).

### ***III стадия (стадия поперечного скольжения)***

Зависимость  $\sigma(\varepsilon)$  – параболическая. На поверхности начинают возникать полосы скольжения, представляющие собой группы близко расположенных линий. При дальнейшей деформации скольжение сосредоточено только в полосах скольжения. Сдвиг в промежутках между полосами отсутствует. Максимум на кривой  $\sigma(\varepsilon)$  соответствует образованию «шейки»



# Результаты представленной модели





# Данные O.Meissner et al. (1998)

Appl. Phys. A 66, S1113–S1116 (1998)

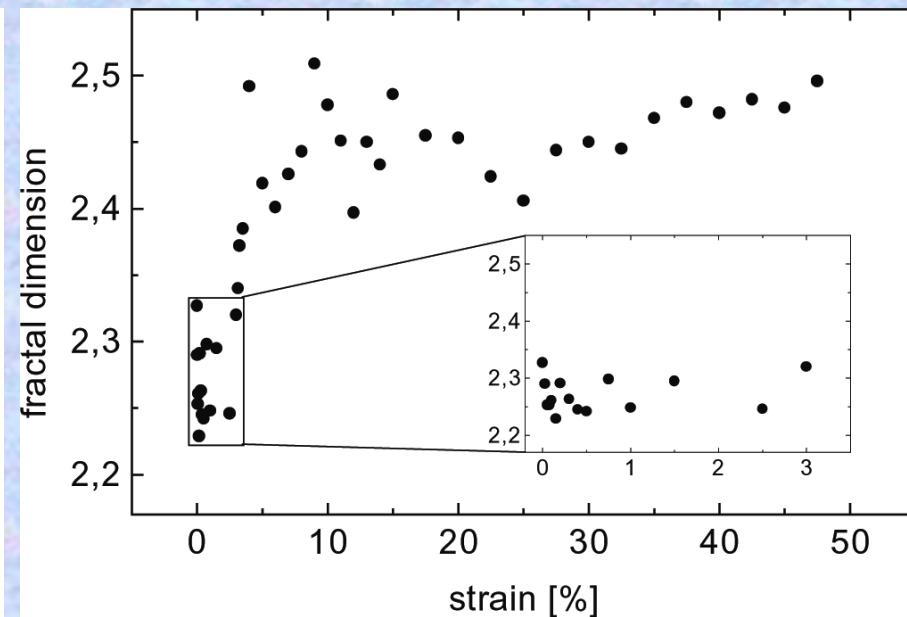
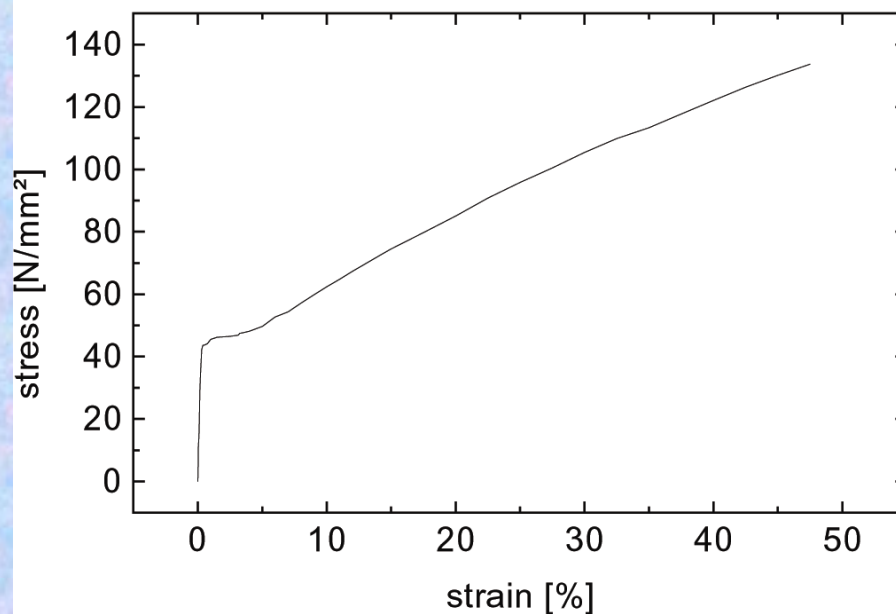
## Formation of mesostructures at the surface of ferritic steel and a nickel monocrystal under increasing load – an in situ AFM experiment

Applied Physics A  
Materials  
Science & Processing  
© Springer-Verlag 1998

O. Meißner<sup>1</sup>, J. Schreiber<sup>1</sup>, A. Schwab<sup>2</sup>

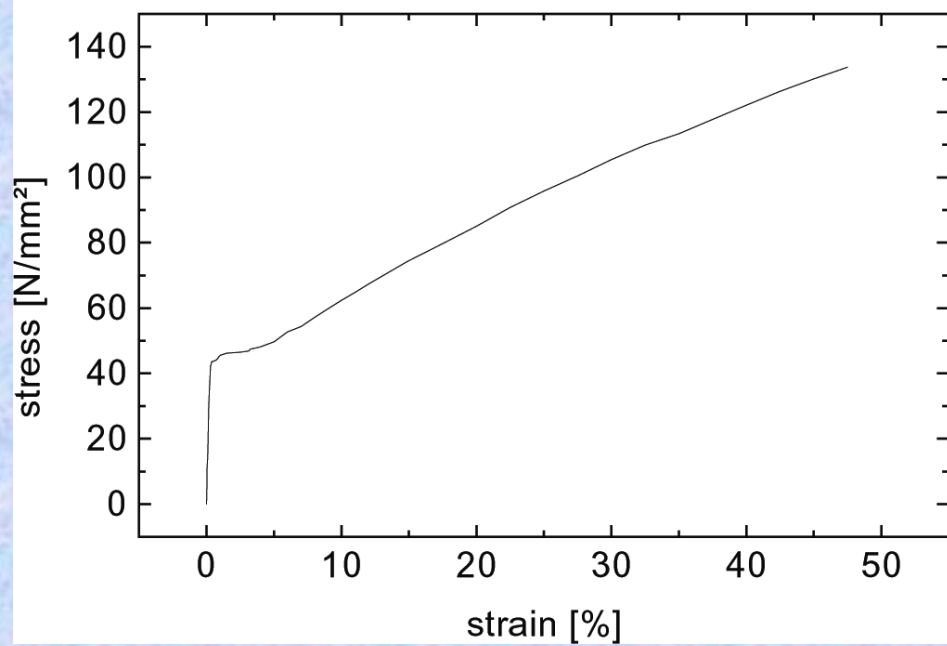
<sup>1</sup> Fraunhofer Institute for Non-destructive Testing, EADQ Dresden, D-01326 Dresden, Krügerstr. 22, Germany  
(E-mail: meissner@eadq.izfp.fhg.de)

<sup>2</sup> Dresden University of Technology, Faculty of Science, Department of Physics, Institute for Physical Metallurgy, Dresden, Germany

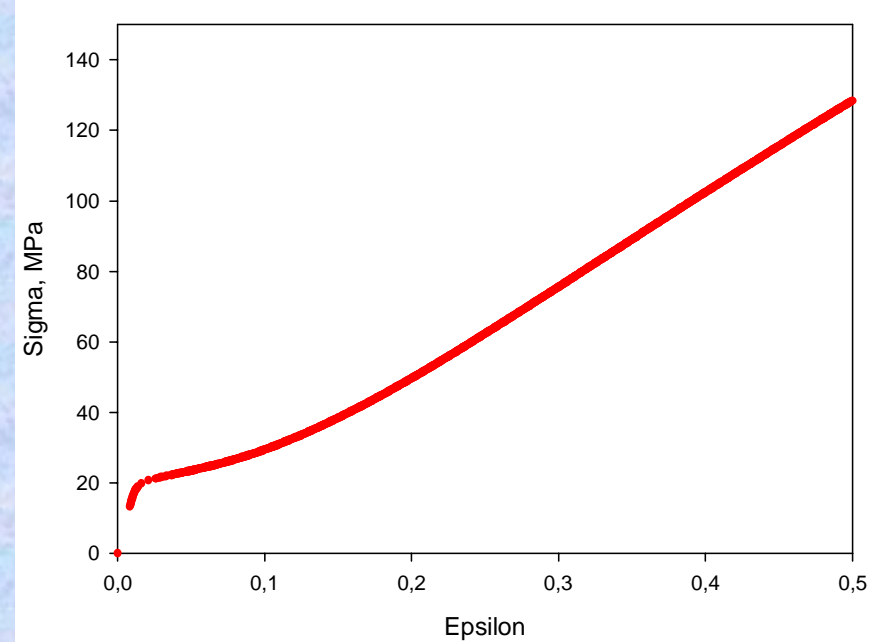




## Сопоставление кривых нагружения монокристаллического никеля

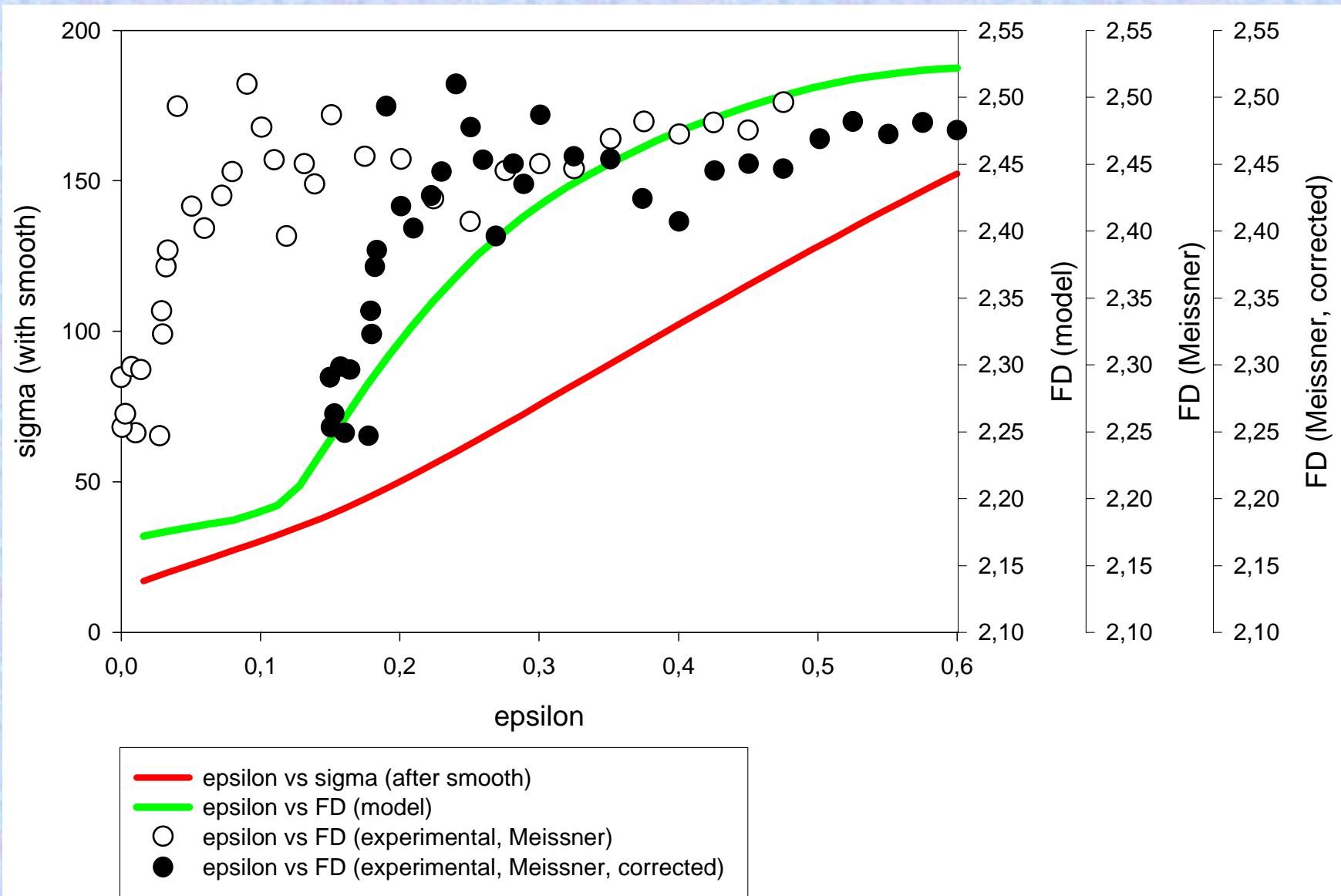


*O. Meissner et al.*  
(короткая первая стадия)

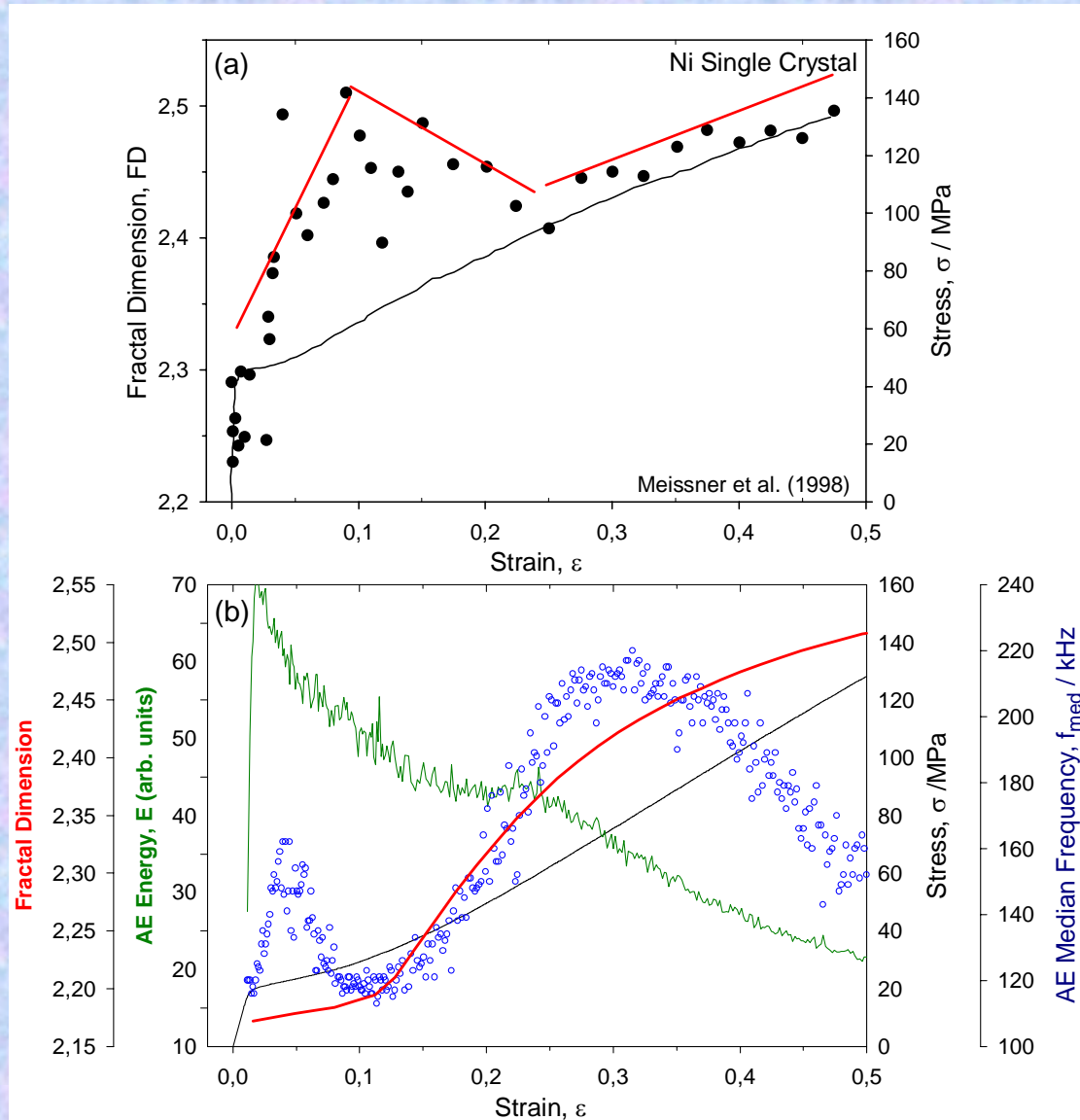


*A. Vinogradov et al.*  
(явно выраженная первая стадия)

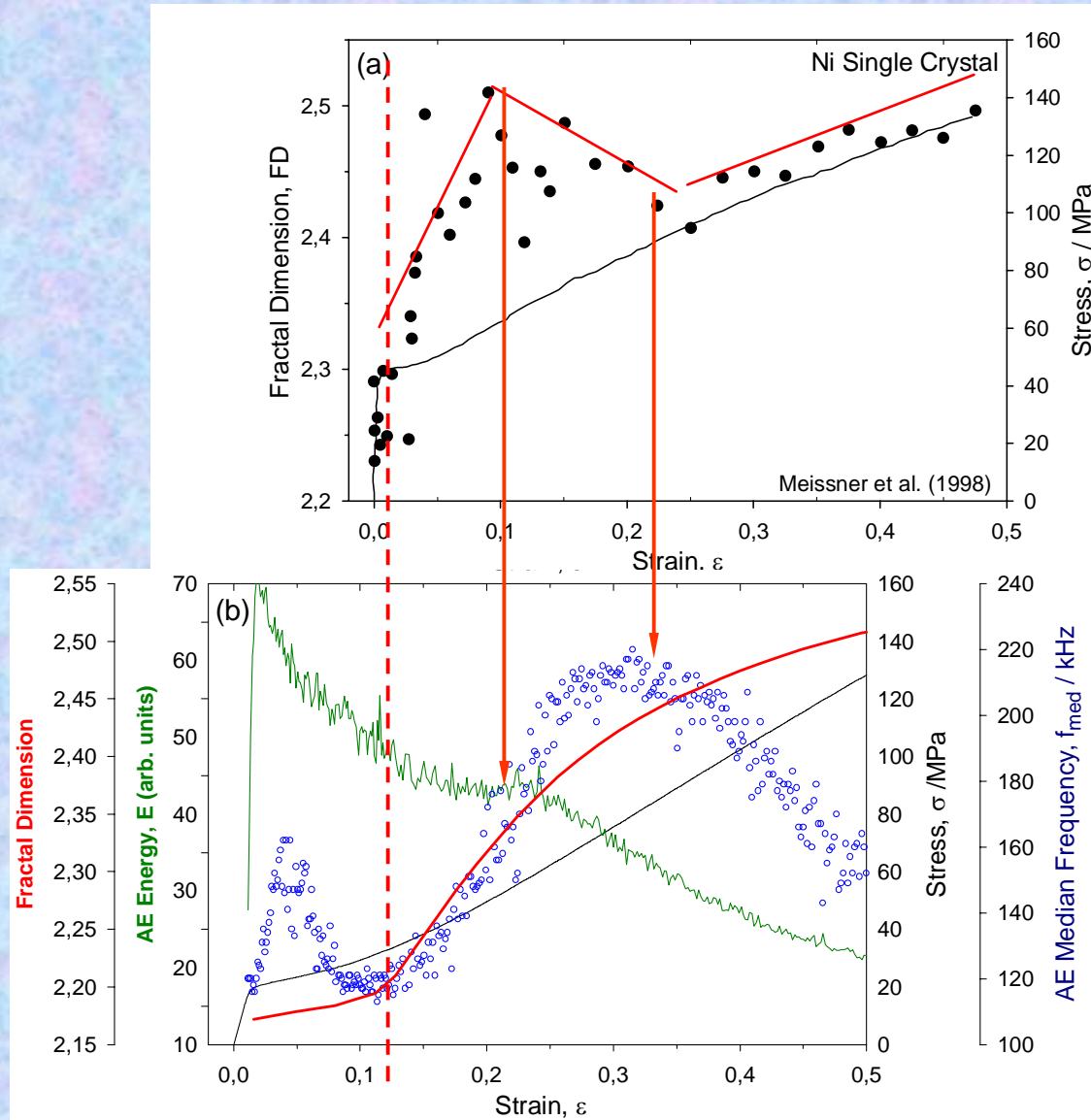
# Сопоставление данных О. Meissner с результатами представленной модели



# Сопоставление данных О. Meissner с результатами представленной модели

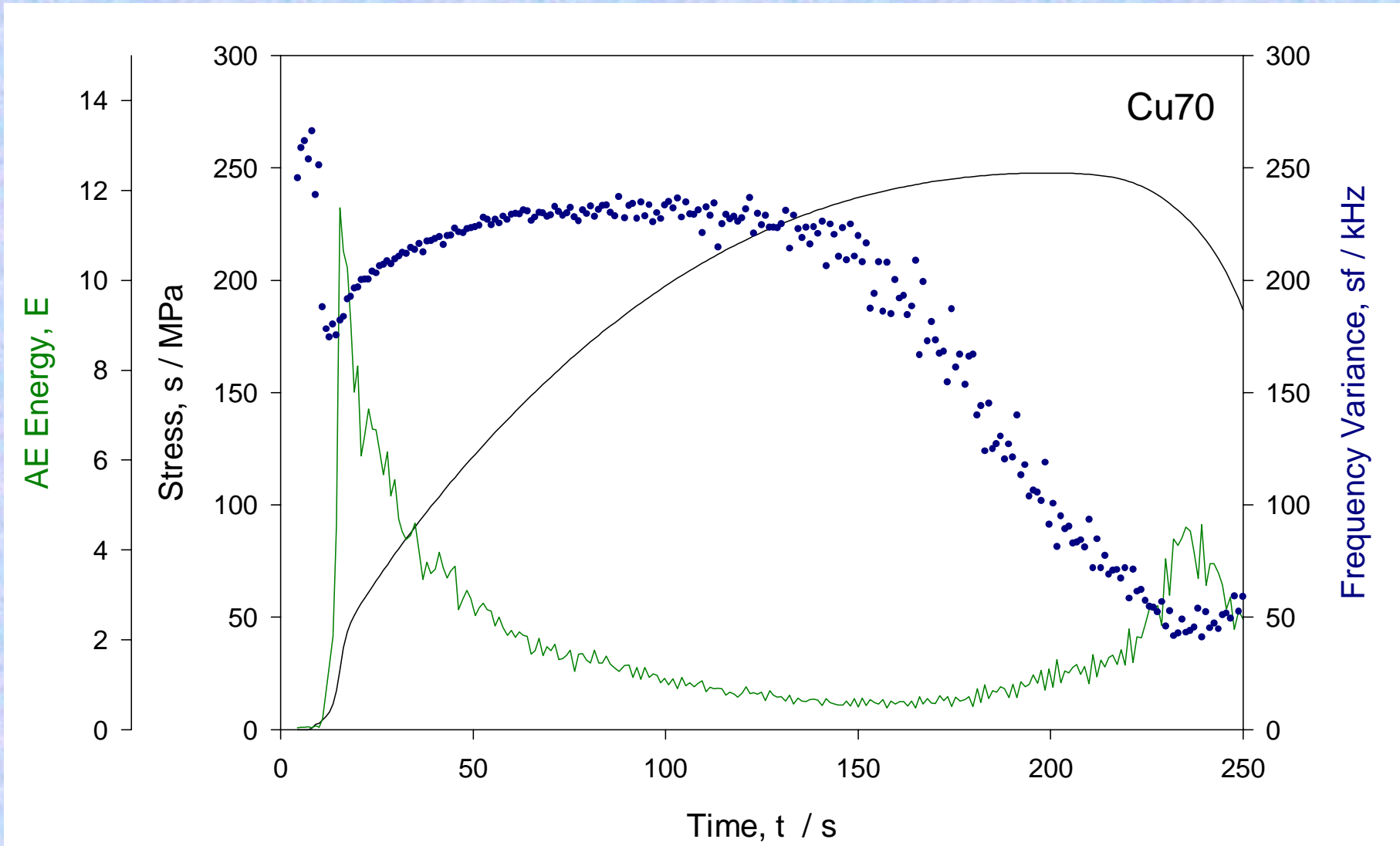


# Корректировка данных О.Meissner по малой величине первой стадии упрочнения

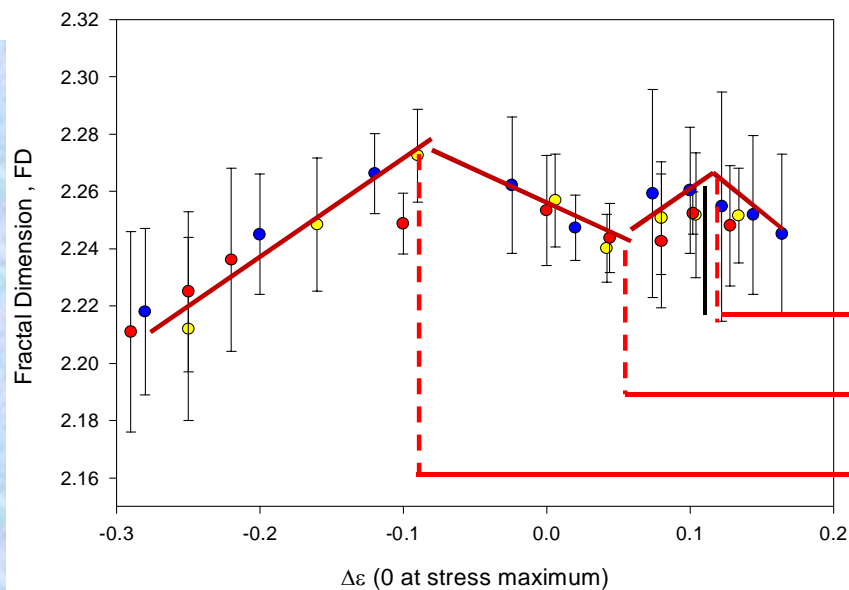
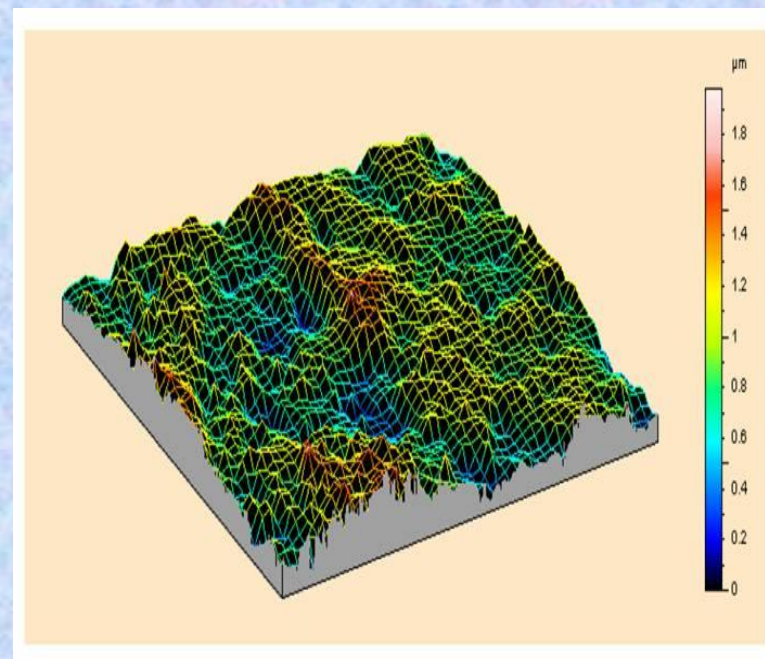
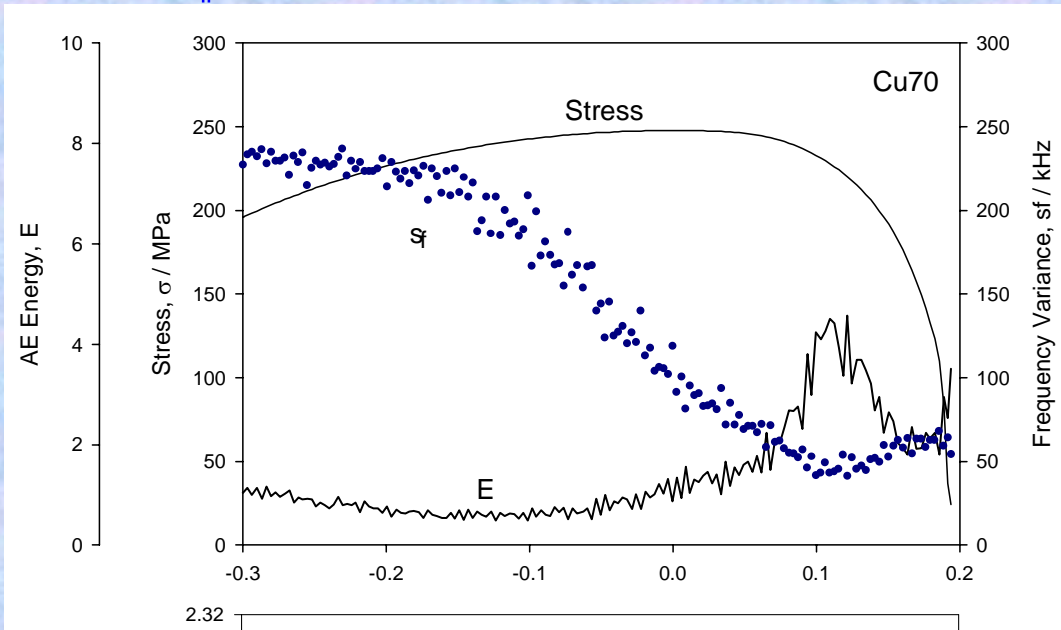




# Нагружение поликристалла меди



# Фрактальная размерность поверхности поликристалла меди на III стадии нагружения



*Interferometric Microscope  
MicroMap 560*

*Разрушение*

*Образование шейки*

*Локализация деформации*